中国電力株式会社玉島発電所納

計算機制御システム

Thermal Power Plant Computer Control System for Tamashima P.S. of the Chugoku Electric Power Co.

河 本 博 好* Hiroyoshi Kawamoto 二川原 誠 逸**
Seiitsu Nigawara

小河内 俊 雄***
Toshio Kogoochi

福島 弘一郎****
Kôichirô Fukushima

要旨

中国電力株式会社玉島発電所 1 号機用計算機制御システムは,広範囲にわたる運転操作指示,タービンの直接制御,予定予想計算,タービン寿命計算など特色ある機能を種々盛り込んだシステムである。 本稿はシステムのおもな機能および現地試運転の結果について概説したものである。

1. 緒 言

最近、火力発電所の大容量化に伴い、安全性の向上、運転員の労力削減、主要機器のより高度な運転管理などを目的として各電力会社において電子計算機の制御への適用が種々試みられている。

日立製作所においても火力発電所の計算機制御として関西電力株式会社堺港5,6号機用のパフォーマンスモニタ,関西電力株式会社海南1,2号機用のシーケンスモニタ,東北電力株式会社秋田1号機用のセットポイント制御による自動起動装置などを手がけて来た。

今回,中国電力と共同で開発した計算制御システムは,計算機制御の範囲および深さの高度化,タービン起動以後の計算機による直接制御の採用,通常の起動停止で取り扱うすべての機器に対する操作指示の実行,中央給電所から指定された併入時刻を守るための主要機器の起動予定時刻計算あるいはタービンの有効利用のための寿命計算など,ほかのプラントにみられない新しい試みがなされている。

2. 計算機制御システムの機能

当発電所はプラント本体一式が日立製で、その諸元は表1のようになっている。ここに適用された計算機の処理内容は図1に示すとおりであり、これらのうちおもなものにつきその内容を説明する。

2.1 運転操作指示

本操作指示はプラントの運転操作を容易にし、発電所の総合的な 安全性を高めることを目的としたもので、操作の順序をチェックす ることはもちろんのこと、操作指示コンソール上のランプ表示およ びタイプライタ・メッセージにより操作時期および操作内容のガイ ドに力点をおいている。

操作指示として取り扱う範囲は発電機密封油系統,固定子冷却系統,油清浄機系統,制御および所内空気系統,軸受冷却水系統のような定検時以外には停止せず通常のユニット運転操作に含まれないものおよび日常の保守業務(定期的な弁,ポンプのテストや復水器逆洗操作など)でユニット運転操作とは直接関係のないものを除いたすべての操作にわたっており、これらは表2、表3に示すシステムに区分されている。システム区分は操作指示の性格上操作手順の流れに従ったブレークポイント的なものと、主要操作の進行にあまり関係のない補助的な操作とに分けられる。後者は特に共通システ

表1 玉島火力発電所1号機プラント諸元

出			カ	350,000 kW
蒸	気	条	件	169 atg/566℃/538℃
ボ		イ	ラ	UP ボイラ (強制貫流ボイラ)
タ	1400	F.	ン	串形 4 流 排 気 形
発		電	機	固定子直接水冷却形
肋	磁纹	方	式	直結交流励磁方式
給	水	ポーン	ブ	別置復水タービン駆動形
ボイ	ラ自	動制御	装 置	ベーレー 721 システム

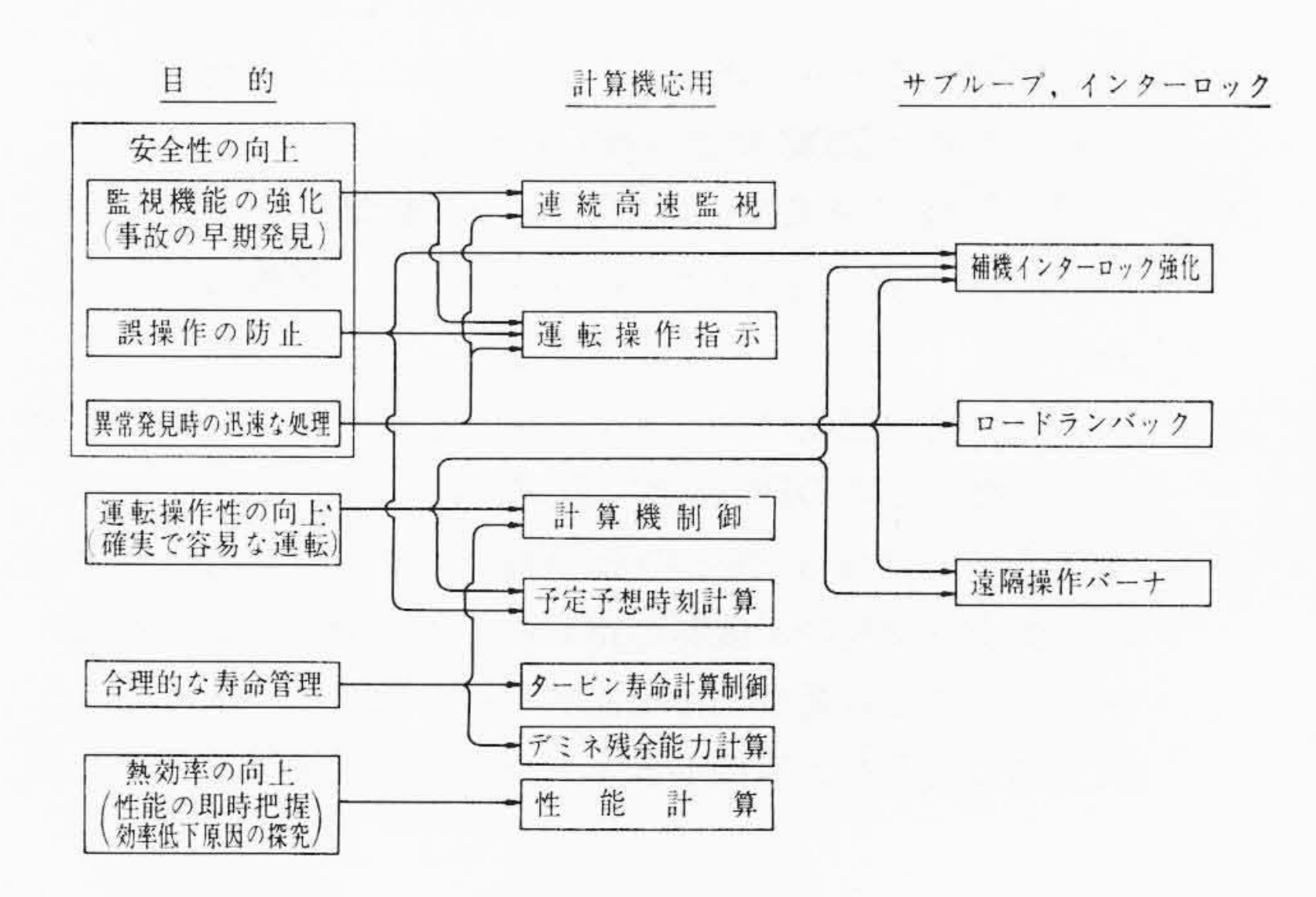


図1 計算機処理内容

ムとしてプラントの状態が規定された状態になると自動的に動作し (EVENT と称す)操作指示メッセージのみを出すようになる。

2.2 計算機制御

ボイラ点火後初期燃料量投入から負荷35%までの主機起動操作 およびユニット停止時負荷20%までの負荷降下を計算機制御で行 なう。計算機制御の範囲、内容について以下に述べる。

- (1) ボイラ点火以降プラント自動制御装置(APC)自動投入までの初期燃料量制御は計算機が点火前のボイラの状態より最適な燃料量を選択切換えすることにより規定された上昇率で温度上昇を行なう。
- (2) タービン通気よりラブチェックを経て定格速度に至るまで の速度制御は計算機直接制御(以下 DDC と呼ぶ)により行 なわれる。
- (3) 同期併入後の初負荷制御は DDC により行なわれる。
- (4) 初負荷保持完了後,加減弁切換までのボイラ昇圧(これによって負荷上昇する)は計算機が自動負荷制御装置(ALR)に負荷上昇率および目標負荷を設定すると,あとはこの目標値に合うようにALR-APCのサブループ制御系が操作

^{*} 中国電力株式会社玉島発電所

^{**} 日立製作所電力事業本部

^{***} バブコック日立株式会社呉工場

^{****} 日立製作所大みか工場

表 2 起 動 シ ス テ ム

20100	衣 2 起 勤	/ /	1 4
システム No.	システム名称	システム No.	共通システム名称
1	ユニット起動準備	1	薬 注 開 始
2	所内ボイラ起動	2	脱気器真空引き
3	海•復水系統起動	3	脱気器ベント弁復水器側切換
4	シール蒸気系統ウォーミング	4	起動エゼクタ停止
5	真 空 上 昇	5	集じん器ダンパ起動
6	低圧クリーンアップ	6	給水流量確立
7	M-BFP ウォーミング	7	脱気器ベント弁大気側切換
8	M-BFP 起 動	8	SAH, SCウォーミング
9	高圧クリーンアップ	9	ボーイーラー昇温
10	軽油系統起動	10	脱気器加熱ドレン調整弁操作
11	通風系統起動	11	SAH 起 動
12	ボイラ点火	12	(予 備)
13	ボイラ温度保持	13	AOP 停 止
14	重油系統起動	14	タービンドレン弁 (主蒸気回り)閉
15	タービン起動準備	15	エゼクタ主蒸気管ドレン弁開
16	タービン起動	16	(予 備)
17	タービン昇速	17	エゼクタグランド蒸気源切換
18	発電機プレウォーミング	18	タービンドレン弁 (再熱蒸気回り)閉
19	励磁	19	BFPTドレン弁閉, AOP停止
20	並列初負荷保持	20	抽気開始ドレンポンプ起動
21	BFP ウォーミング	21	所内切換およびAQR使用
22	重 油 点 火	22	グランド蒸気源切換
23	昇 圧, 負 荷 上 昇	23	バーナ本数増減
24	弁 切 替	24	循環ポンプ2台目起動
25	タービン・マスタ自動,負荷上昇	25	各補機 2 台目起動
26	BFP 起 動	26	各補機1台停止
		27	循環ポンプ1台停止

注:共通システム No.22~27 は通常運転中に動作するシステムである。略称 SAH:蒸気式予熱器 AOP:ターピン補助油ポンプSC:蒸 化 器 AQR:自動無効動力制御装置

端を制御するセットポイント制御方式により行なわれる。

- (5) 加減弁切換は DDC により行なわれる。
- (6) 加減弁切換以降負荷 120 MW までの負荷上昇は計算機が ALR に目標値を設定するセットポイント制御により行な われる。
- (7) タービン給油温度はターニング中と定格回転中ではその設 定が異なるため DDC により制御される。
- (8) 通常運転中は中給からの負荷指令によって負荷応動する が、要求負荷変動が機器の寿命を大きく消費するおそれの ある場合には負荷変化幅を制限する。これは ALR の負荷 変化率設定器を計算機がセットポイント制御する方式で行

表3 停止 システム

ンステム No.	システム名称	システム No.	共通システム名称
1	負 荷 降 下	1	所内ボイラ主蒸気止弁開
2	所内ボイラ起動	2	BFP停止, ドレン弁開
3	給水ポンプ切換	3	給水流量300t/h
4	負荷降下バイパス運転	4	M-BFP 停 止
5	タービンマスタ手動,解列	5	2次SHバイパス弁閉
6	解 列 後 処 理	6	
7	ボイラ冷却	7	
8	通風系統停止	8	
9	真 空 破 壊	9	
10	タービンターニング	10	
11	海,復水系統停止	11	
12			

なわれる。

(9) ユニット停止は20%負荷までの負荷降下目標値が計算機によりALRに設定されるセットポイント制御により行なわれる。

図2は計算機制御の全貌をまとめたものである。

2.3 予定予想時刻計算

発電所を起動あるいは停止する場合には中給より何日の何時何分に併列あるいは解列せよという指令が与えられる。この場合発電所側としてはこの指令を守るために現在のプラント状況を判断しておおよそ何時にタービンを起動すべきであり、そのためには何時にボイラ点火、さらにさかのぼって何時に真空上昇が必要であるかを決定する必要がある。従来これらの予定は運転員によって決められていたが、これを計算機によって行なうものである。今起動を例にとってみると、まず運転員が併列時刻を与えると計算機は現在のプラント状態をみてタービン通気時の蒸気とメタル温度のミスマッチが最良になるようボイラ点火時刻を決定し、かつ併列時刻が予定された値になるよう収れん計算を行なう。このようにして得たボイラ点火時刻ならびにタービン起動時刻をベースに主要な機器の起動時刻を算定するもので次に示す操作時刻を表示する。

- (1) 所内ボイラ起動時刻
- (2) 海·復水系統起動時刻
- (3) 真空上昇時刻
- (4) 電動給水ポンプ(M-BFP)起動時刻

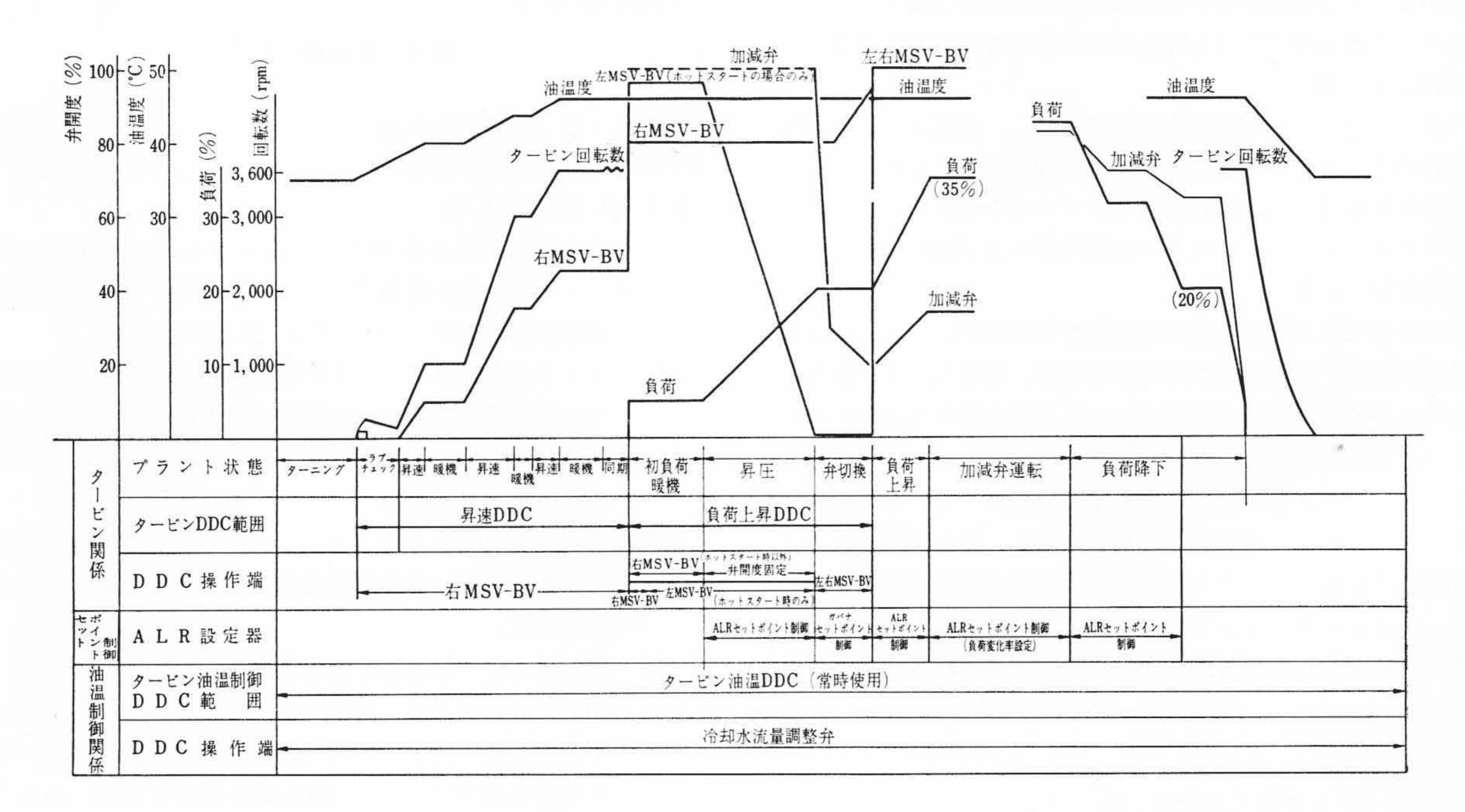
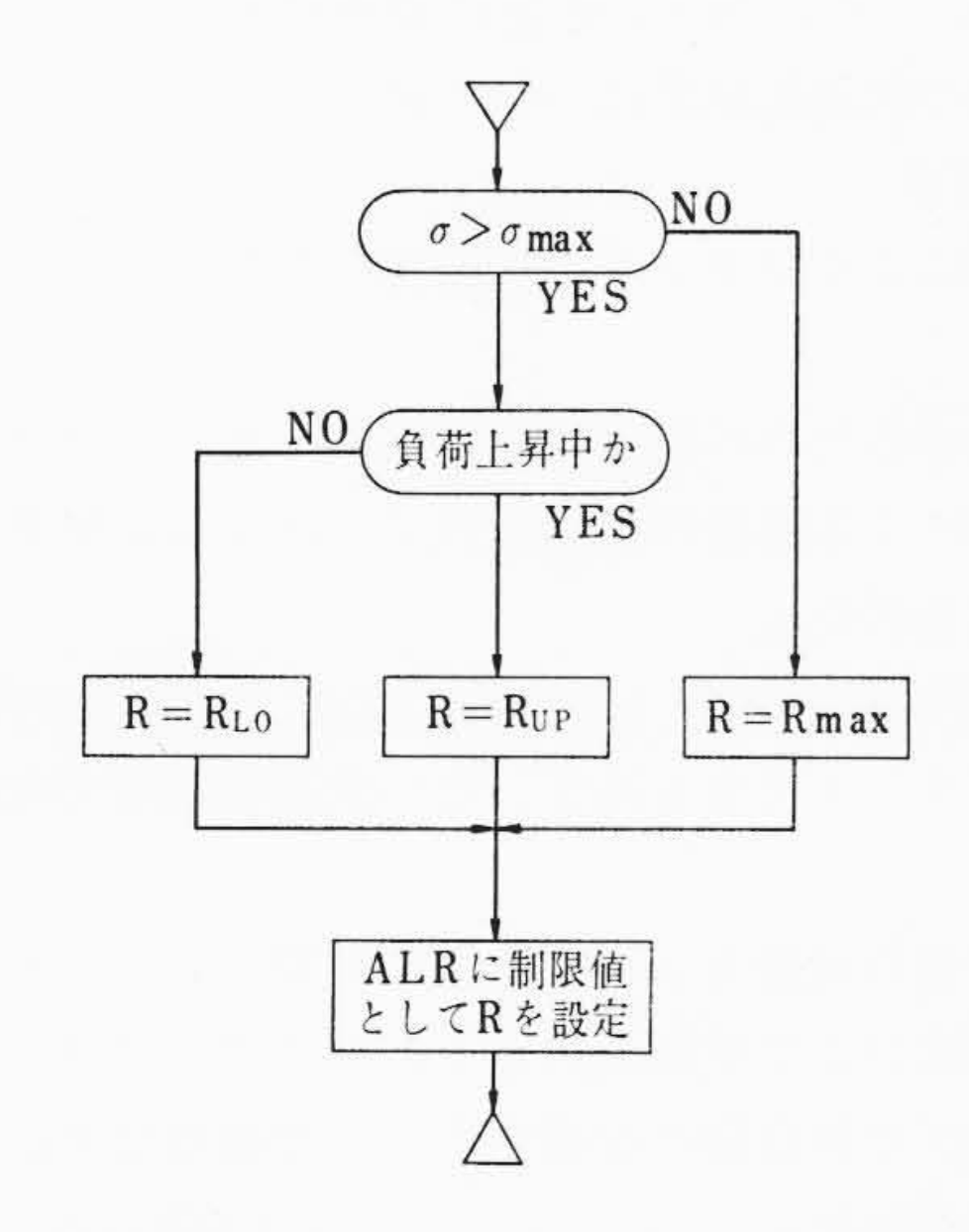


図2 全体制御ブロック図



σ :現時点のロータ表面熱応力(計算値)(kg/mm²)

σmax:許容最大熱応力 (kg/mm²)

R_{UP}: 許容最大負荷変化量(上限)(計算値)(MW/min) R_{LO}: 許容最大負荷変化量(下限)(計算値)(MW/min)

Rmax:最大負荷変化率(MW/min)

図3 寿命による負荷制御

- (5) 軽油系統起動時刻
- (6) ボイラ点火時刻
- (7) ボイラ温度保持開始時刻
- (8) タービン起動時刻
- (9) 併 列 時 刻
- (10) 重油点火時刻
- (11) 加減弁切換後の負荷上昇開始時刻
- (12) タービン駆動給水ポンプ(BFP)起動時刻

また操作が点火やタービン起動の時点に達したとき, そのときの 状態から次の主要操作がいつになるかを予想し印字している。

2.4 タービン寿命管理

タービンが内部の熱的状態により最も寿命損耗上問題になるのは ロータで、これの加熱または冷却の際生ずる表面と内部の温度によ る熱応力が繰り返し作用することによって疲労破壊をうける。1回 あたりの最大熱応力と許容繰り返し回数の間にはある関係があり、 最大熱応力を小さく制限すれば繰り返し回数を大きくすることがで きる。

タービンの寿命は高圧ロータの熱応力による疲労で代表され、ロータでは表面に最も大きな熱応力を生ずる。この熱応力は(1)式で求めることができる。

$$\sigma = \mathbf{K} \cdot (\tau_1 - \tau_2) \quad \dots \qquad (1)$$

$$\tau_2(t) = \left(\frac{0.72}{1 + 60 \, s} + \frac{0.28}{1 + 4.5 \, s}\right) \cdot \tau_1(t) \quad \dots (2)$$

ここで, σ: 熱 応 力

K: 材質,形状によって決まる係数 (=0.4)

τ₁: ロータ表面温度 (⇒高圧第1段後内壁温度) (℃)

τ2: ロータ内部平均温度 (℃)

t: 時 間 (min)

s: ラプラス演算子

計算機は(1),(2)式によって熱応力を求め,発生した熱応力が 回復するまでの半サイクルごとにその間の最大熱応力を寿命に変換 しこれを積算する。また通常運転中はALRを介して許容熱応力を 越えない負荷制御を行なう。図3はそのフローチャートを示したも のである。

2.5 デミネ残余能力計算

デミネ入口復水流量および復水のアニオン, カチオンのイオン量

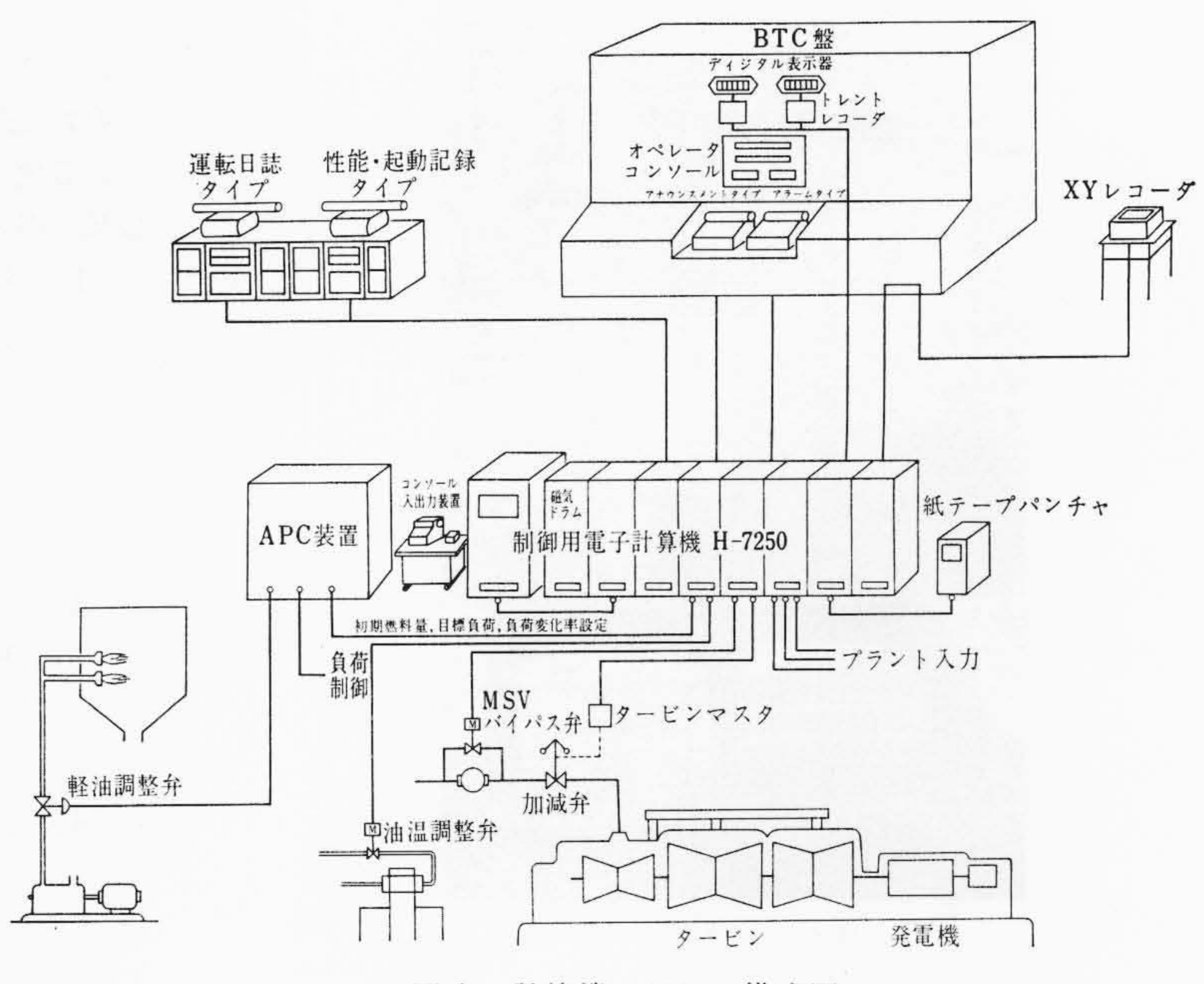


図4 計算機システム構成図

表 4 計算機システム機器仕様一覧

項目	仕		様
中央処理装置	HITAC-7250		
コ	16 K 語		
磁気ドラム装置	256 K 語		
コンソール入 出 力 装 置	1 式		
プロセス入出力装置			
アナログ入力	544 点		
ディジタル入力	576 点 (オペコン用を	と含む)	
パルス入力	32 点		
割り込入力	64 点		
アナログ出力	8 点		
ディジタル出力	214 点 (オペコン用を	と含む)	
オペレータコンソール	1 式		
ディジタル表示器	6 けた 2 着	A	
トレンド記録計	3 ペン式 2 元	ì	
タイプライタ			
アラーム・アナクレスメント用	I BM-731 2 7	î	
日 誌 用	I BM-B-30'' 2 7	î	
XY ν = - ø	記録幅 380×250 mm	1	台
紙テープパンチャ	100 字/秒 1	台	

によって各樹脂の消耗量を求め、デミネ樹脂(アニオン、カチオン) ブレークまでの残り時間を計算して表示する。これをデミネ再生時 期の目安とする。

3. 計算機システムの構成

3.1 機 器 構 成

以上の機能をはたす本システムの機器構成は図4に示すとおりであり、その機器仕様は表4に示すとおりである。

またBTG盤に取り付けられたオペレータコンソールなどのマンマシンコミュニケーション機器は図5の写真に示すとおりである。

3.2 プログラム構成

本システムには火力発電所自動化用として開発されたソフトウェアシステムを使用し、プログラム全体の構成は図6に示すとおりである。

操作指示やDDC などの制御用プログラムは機能別(操作判断,状態決定など),機器別および操作手順別に数十個のプログラムに小分割され,ユニットシーケンス制御プログラムにより各プログラムの連けいがとられている。(詳細は文献(1)参照)

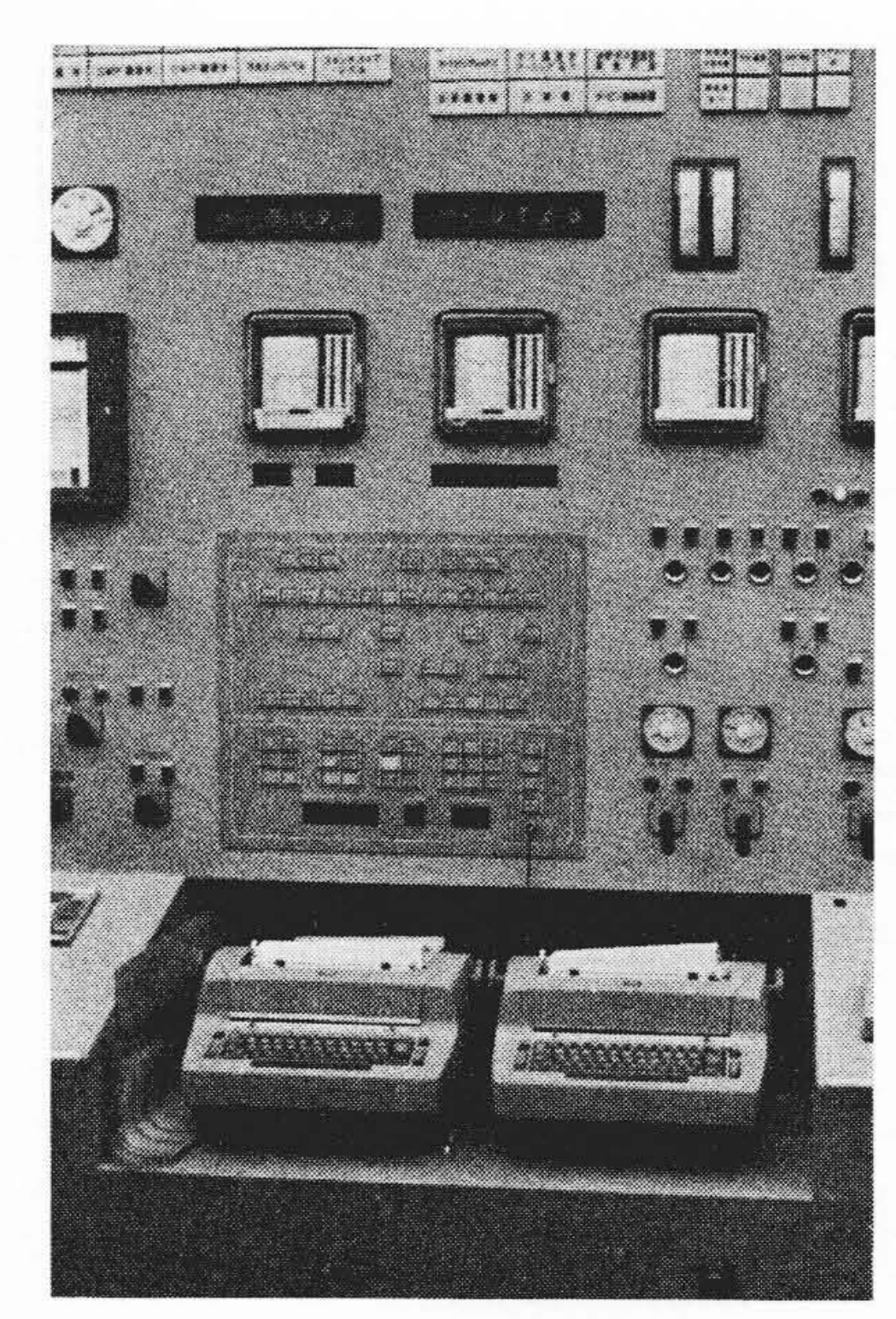


図5 オペレータ・コンソール

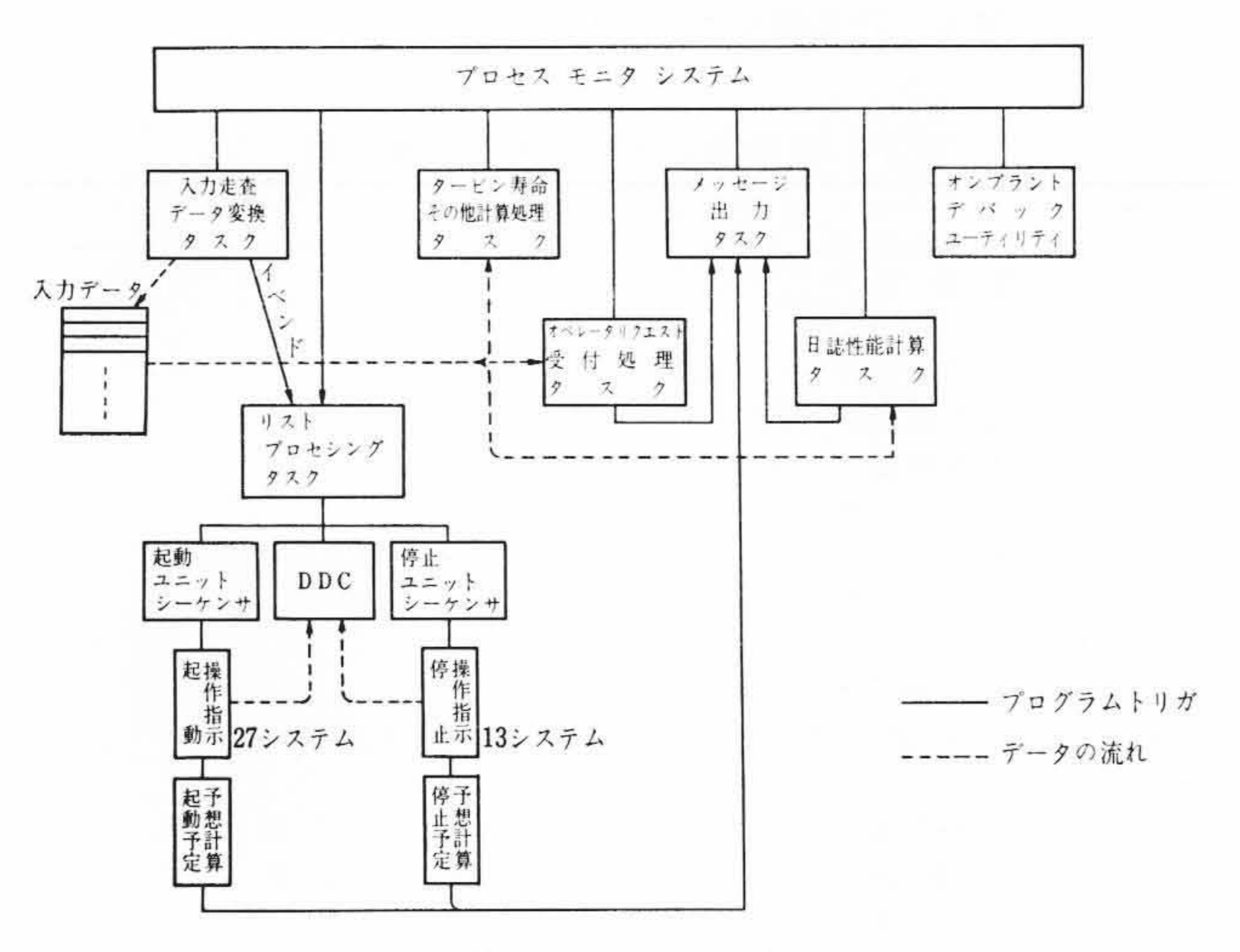


図6 プログラム構成

4. 現地試運転結果

4.1 現 地 工 程

昭和45年8月現地へ搬入し、昭和46年3月末の営業運転開始までにすべての調整を完了した。

現地試運転において特に考慮した点は計算機の調整工程をプラントの試運転工程とじゅうぶんにマッチさせたことで、そのおもな点は

- (1) 入力関係の調整確認は主機が運転開始するまでに完全に完了させ計算機を計器の一部として使用可能にした。
- (2) 運転操作指示, DDC に関しては事前にシミュレーション を行ない主機の運転開始時より計算機による制御を可能に した。

などである。

この結果タービン昇速 DDC については最初のタービン・ストレッチアウトを除き、タービン無負荷テスト中の起動はすべて DDC を用い合計 12 回のテストを行なうことができた。

操作指示についてはプラント火入れ以降部分的ではあるが、機会あるたびに使用した。 そのほかの DDC 機能および運転操作全体を通しての計算機制御のテストはプラント本体の調整のほぼ終了した46年1月以降の総合調整期間に起動停止を繰り返すことにより行なわれた。この期間に行なった計算機制御による起動停止の回数は

合計 11 回で各起動モードについて完全に調整することができた。 以下におもな機能の試運転結果について述べる。

4.2 運転操作指示

計算機の操作指示によりプラントの起動操作を行なった結果次の 成果が得られた。

- (1) 操作を開始するための前条件を計算機がチェックすること は確認もれによる誤操作防止の点でじゅうぶん効果がある ことが確認された。
- (2) 計算機の操作指示に従えば熟練者でなくても運転可能であり、特にプラントになじんでいない試運転段階で有効であった。
- (3) プラントの進行状態とプログラムの同期はよくとれており EVENT 方式および制御システムごとにプログラムを小分 割する構成が今後自動化を進めるうえで有効な方法であることが確認された。
- (4) 操作手順は現地試運転の結果,計画時点より幾つか追加変 更があったが,オンプラント・デバッキング・ユーティリ ティを使用することにより試運転工程を乱すことなく応ず ることができその効果が確認された。
- 一方, 現地調整において考慮した点としては次のとおりである。
- (1) 試運転中における機器の未調整や特殊操作による不成立条件のバイパスに手間がかからないよう,「条件無視」のボタンを設け操作の簡約化を図った。
- (2) ベリーホット・スタート時には短時間に多数の印字要求が 生ずるが、タイプライタの印字速度の限度のため、操作指 示のメッセージ印字が遅れることのないよう、操作指示印 字の優先度を高くし、接点動作記録の印字項目数を最小限 にした。

4.3 計算機直接制御 (DDC)

DDCによる現地試運転結果の一例として2月15日のウオーム・スタート時の昇速,初負荷および加減弁切換の制御結果を示すと図7~図9のようになる。

タービン昇速において留意すべき点はラブチェック終了後昇速指令が出てからできるだけ早く指定の上昇率で速度上昇することおよび,3,600 rpm におけるオーバーシュートを最小にすることにある。

昇速開始を迅速に行なうためには、速度の上昇が始まるまでは瞬時目標値を大きくして速度偏差を大きくするとともに、強制的に一定幅のパルスをバイアス値として加え初期加速を行なう方法がとられている。

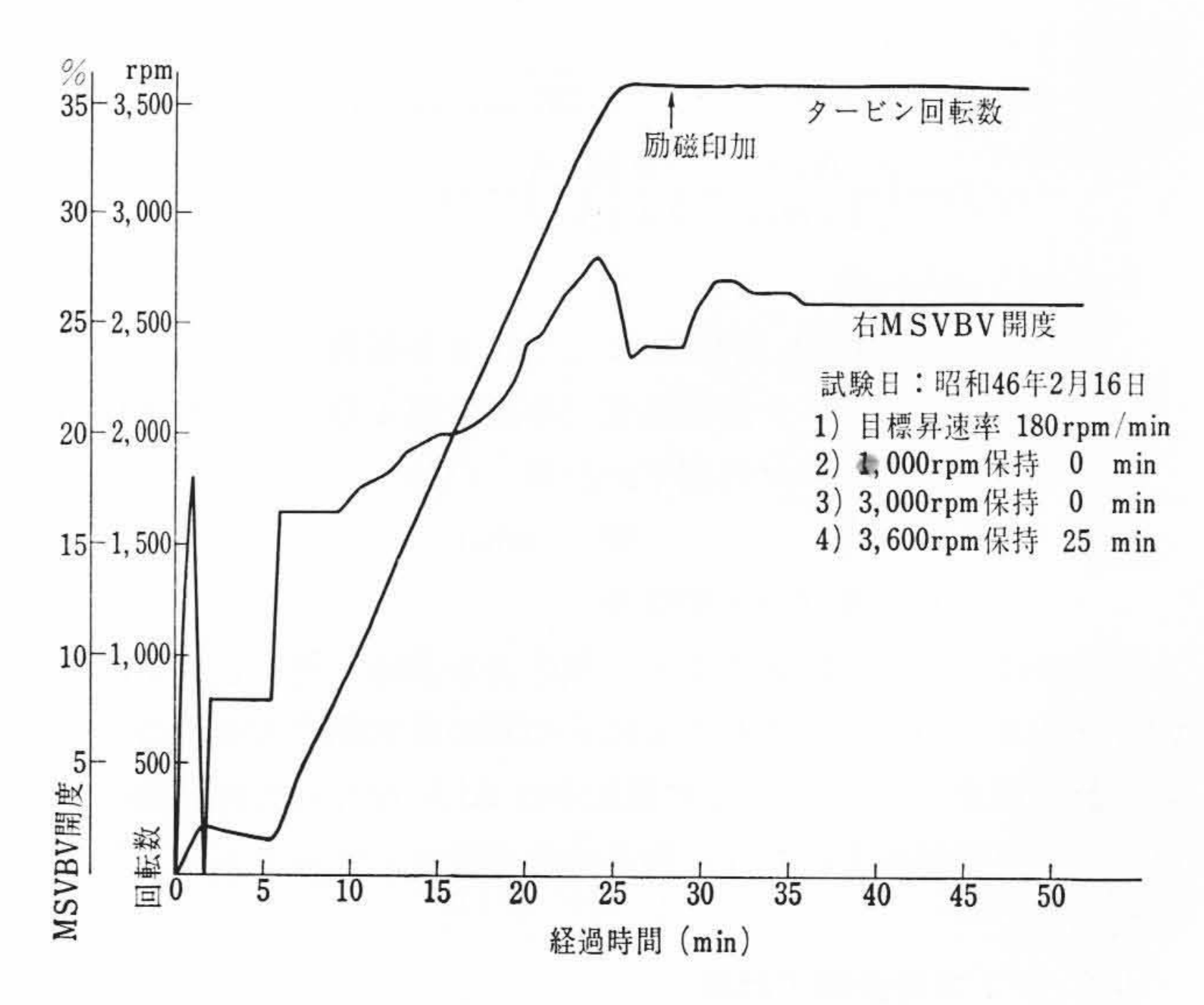


図7 タービン昇速 DDC

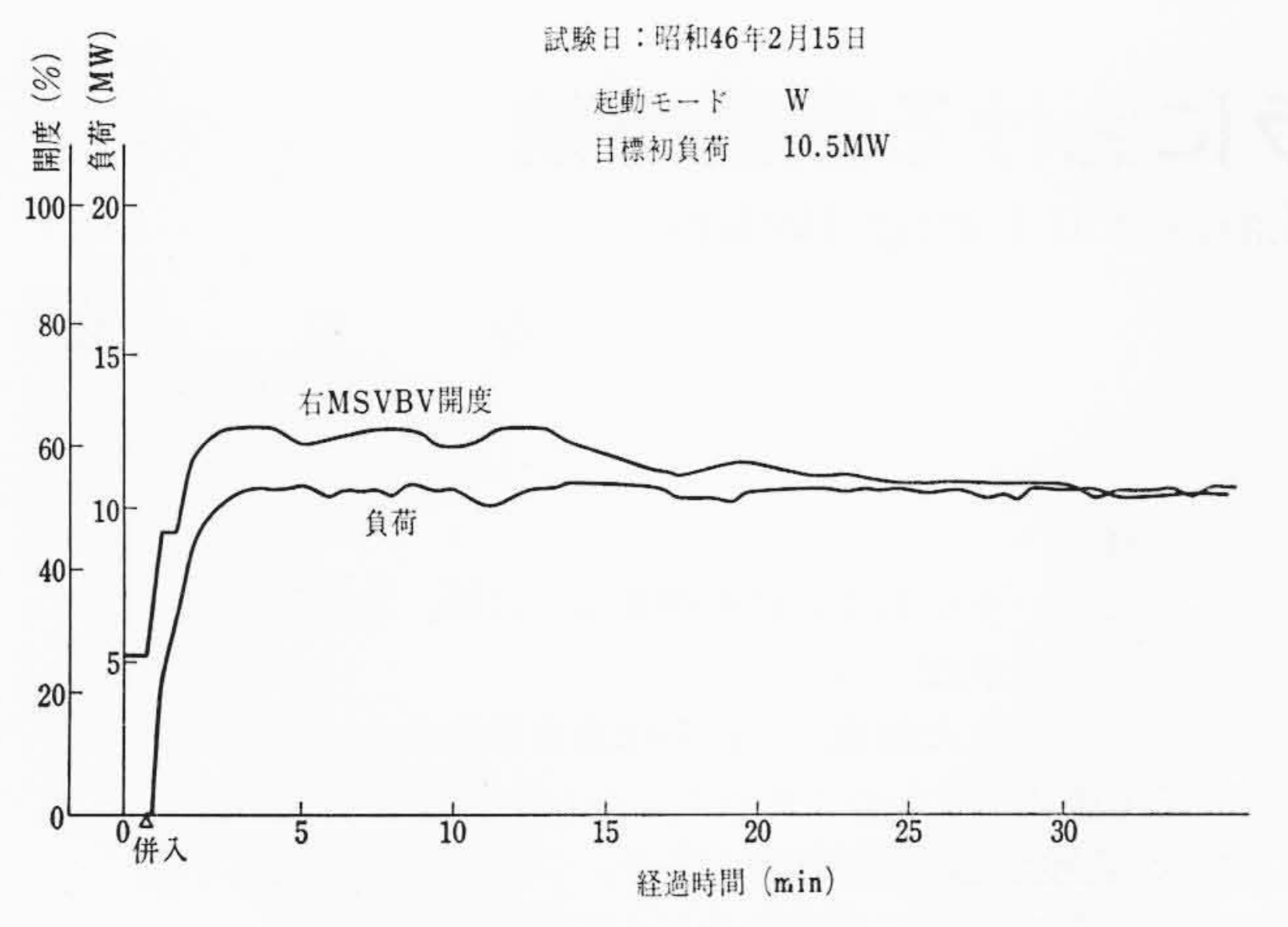


図8 初負荷制御 DDC

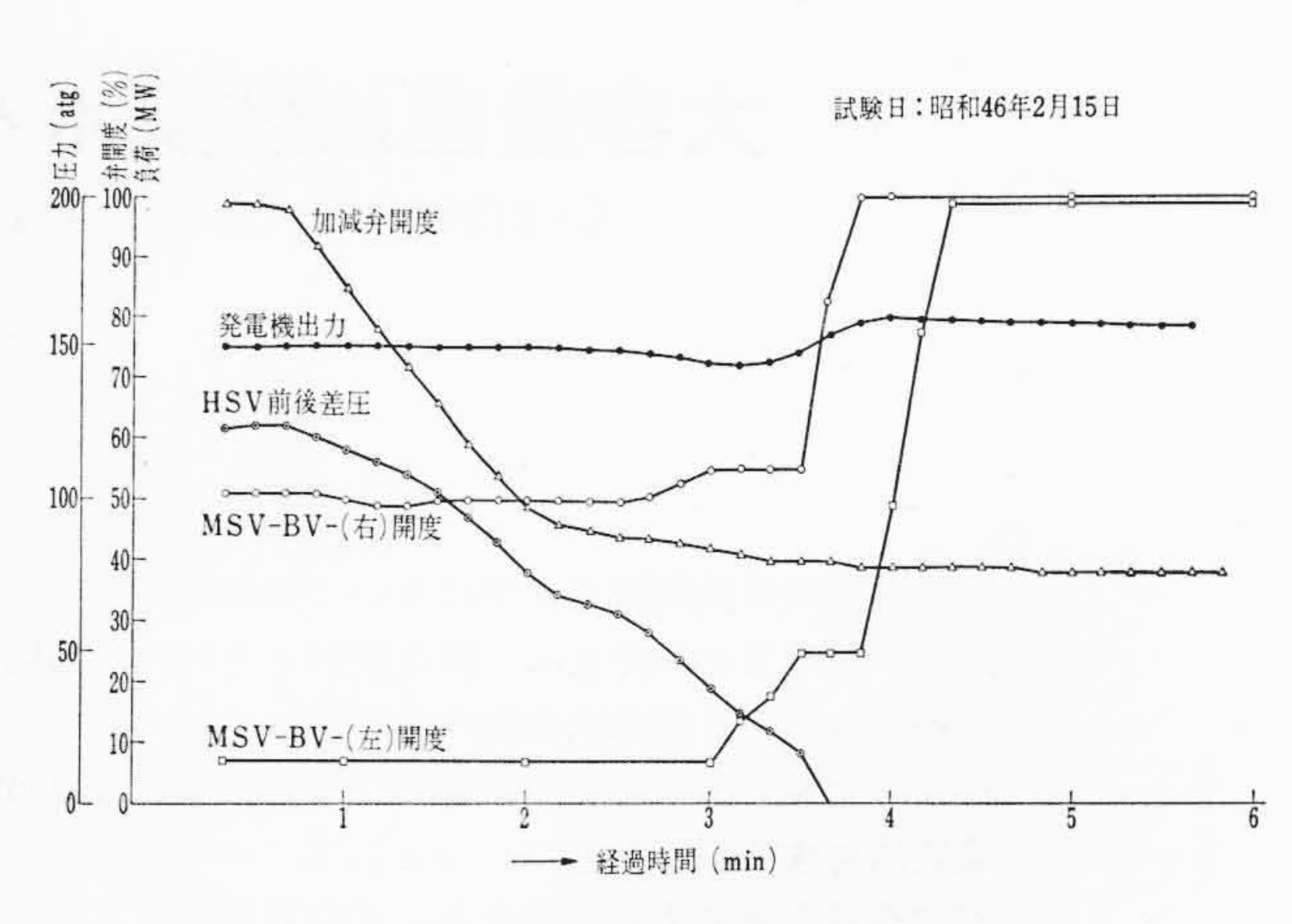


図9 加減弁切換 DDC

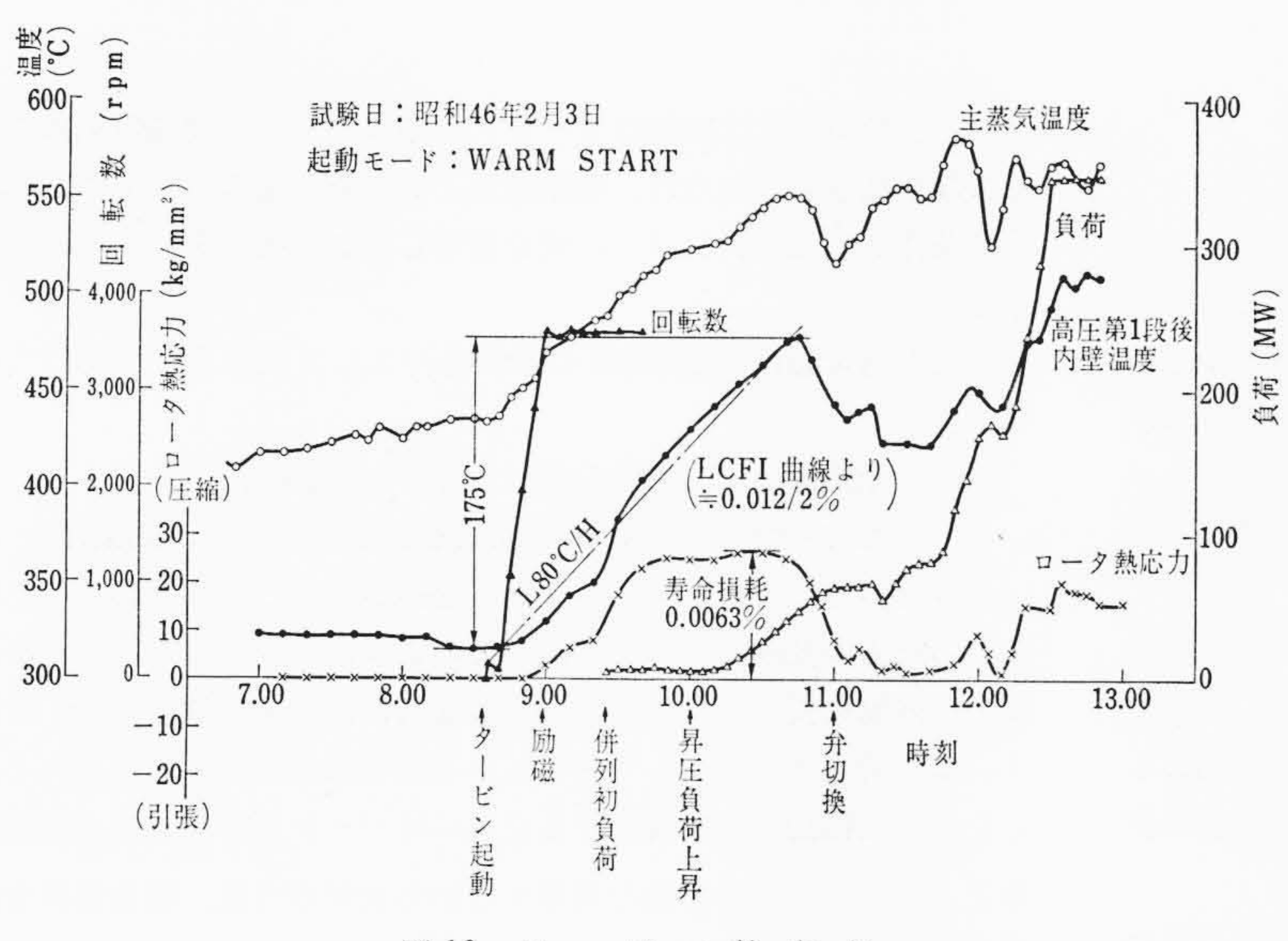


図10 タービン熱応力

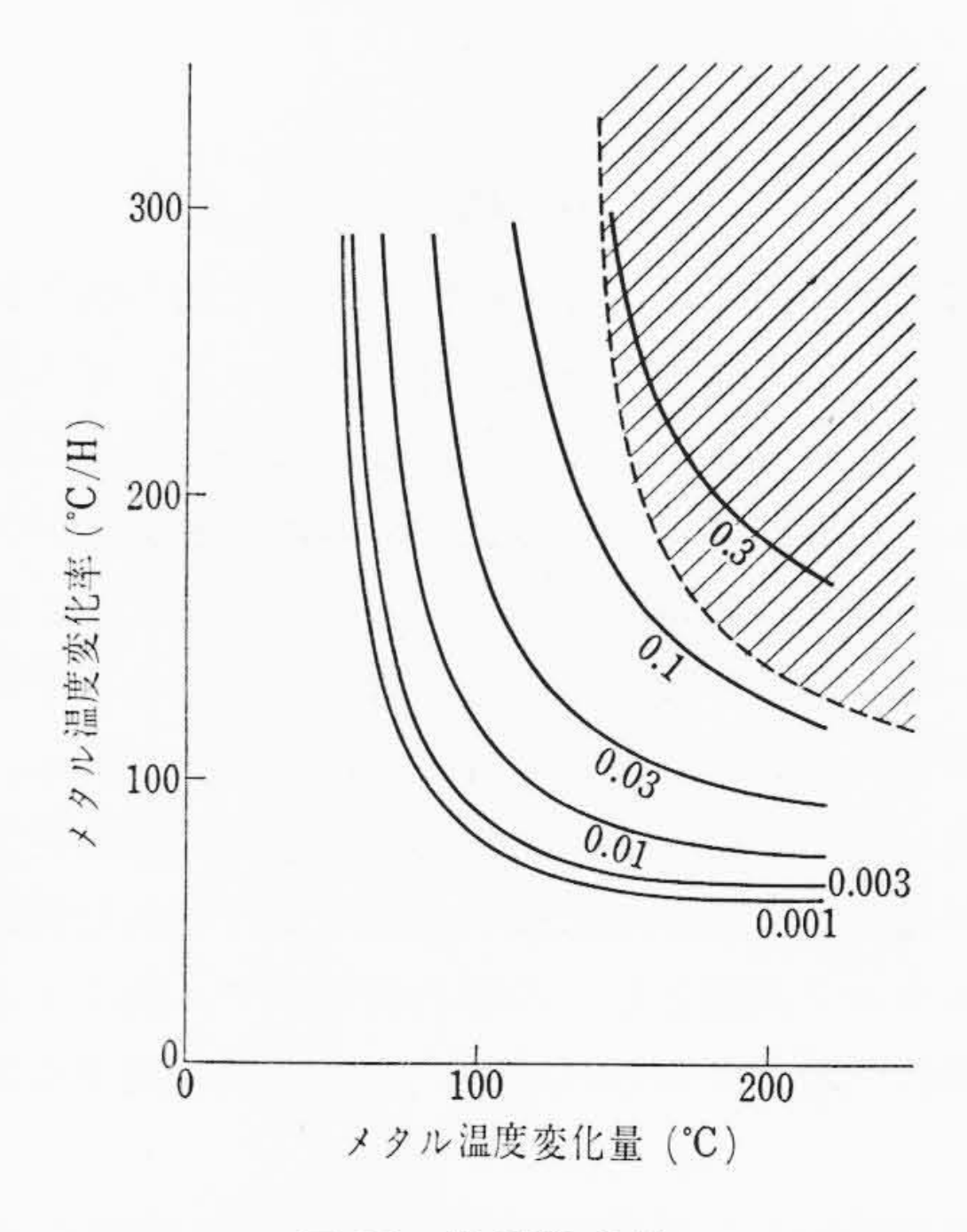


図 11 LCFI 曲線

また $3,600 \, \mathrm{rpm}$ におけるオーバーシュートを最小にするためには目標速度の手前で目標値の上昇率を下げ、さらに減速パルスを $1\,\mathrm{回}$ 加えるようにしてあるため、図 $7\,\mathrm{O}$ 結果のようにオーバーシュートを $1\,\mathrm{rpm}$ に押えることができた。

初負荷制御は起動モードにより行なわれ、コールドおよびウオーム・スタート時は右主さい止弁バイパス弁 (MSVBV) により制御、ホット・スタート時は右 MSVBV を一定量開けた後左 MSVBV により制御、ベリーホット・スタート時は右 MSVBV により弁切換負荷まで負荷上昇するというように制御対象の切換えが複雑であるが計算機制御の場合、これらすべてのケースに容易に対処できることが実証された。また制御特性も図8に示した例のように各ケースについて良好な結果を得た。

加減弁切換では弁切換中の負荷変化を少なくするためMSVBVにより負荷制御をする一方、弁切換時間を関数としたバイアス値を負荷制御信号に加えるなどの考慮をはらうことにより図9に示すように切換時の負荷変動は少なく、良好な結果が得られた。

4.4 予定時刻計算

試運転当初は設定併入時刻と計算された併入時刻が合わず,時には大きな差を生じたが,これは収れん計算のうち切り回数が少なかったためで,これを大きくすることによって解決した。なお試運転期間中はほとんどが設計データをもとに計算したため実情と相違する点が若干あったが,この期間中に実機運転におけるデータを収集することができた。今後この新しいデータによる計算の確認を行なう予定である。

4.5 タービン熱応力

ウオーム・スタート時発生したタービン熱応力の一例は図 10 に示すとおりである。この起動では最大 $27 \, \mathrm{kg/mm^2}$ の熱応力を発生し、この半サイクルで0.0063% の寿命を損耗している。一方、高圧第 1 段後内壁温度は温度差 175% を 80% 作で変化している。図 11 は LCFI (Low Cycle Fatigue Index) 曲線で、この曲線から寿命消費 指数を求めると 1 サイクルあたり約 0.012% であり、半サイクルでは 0.006% となって計算機の結果と LCFI 曲線の結果がよく合致し、じゅうぶん実用できることがわかった。

5. 結 言

中国電力玉島発電所の計算制御システムにつきその機能や現地試運転結果につきその概要を説明した。このシステムでは、広範囲の運転操作指示を行なっていることや初めてタービン関係に DDC を採用したことやタービンの寿命計算を実施していることなど特色ある機能が多く盛り込まれている。これらはすべて良好に動作し、期待どおりの成果を得、予定どおり3月末より正式に営業運転にはいった。

今後ここで得られた経験を基にし、火力発電所の完全自動化を進 めるためいっそうの努力をする所存である。

終わりに本システムを完成するにあたりご協力をいただいた中国 電力株式会社の関係者各位に対し厚くお礼申し上げる。

参考文献

- (1) 桑原: オーム Vol. 57, No. 9, 33 (昭 45-9)
- (2) 丸山, 桑原, 松村: 日立評論 51, 404 (昭 44-5)